





# Strahlentherapie in Österreich – Perspektiven von Photonen- und Ionentherapie

Dipl.-Ing. Lukas Sölkner, B.Sc.



#### Lukas Sölkner

- 2006: Matura, HTBLuVA Waidhofen/Ybbs
  - Schwerpunkt: Wirtschaftsingenieurwesen
- 2007-2011: Bachelorstudium der Technischen Physik, TU Wien
- 2011-2013: Masterstudium Biomedizinische Technik, TU Wien
  - Schwerpunkt: Medical Physics and Imaging
- 2012-2013: Diplomarbeit an der Radioonkologie, AKH Wien
  - Vorstudie f

    ür Medaustron; Vergleichsstudie
- Ab 2014: Klinischer Betrieb, AKH Wien
- Ab 2014: Beginn Master of Advanced Studies: Medizinische Physik, MedUni Wien



#### **Inhalt**

#### 1. Grundlagen

- Geschichtlicher Überblick
- Motivation
- Wechselwirkungen im klinischen Betrieb
  - Photonen
  - Protonen/lonen



#### **Inhalt**

## 2. Strahlentherapie

- Photonen
  - Linearbeschleuniger (LINACS)
  - Bestrahlungstechniken (CRT, IMRT/IMXT)
- Ionen
  - Kreisbeschleuniger (Synchrotron)
  - Bestrahlungstechniken (SFUD/IMPT/12C)

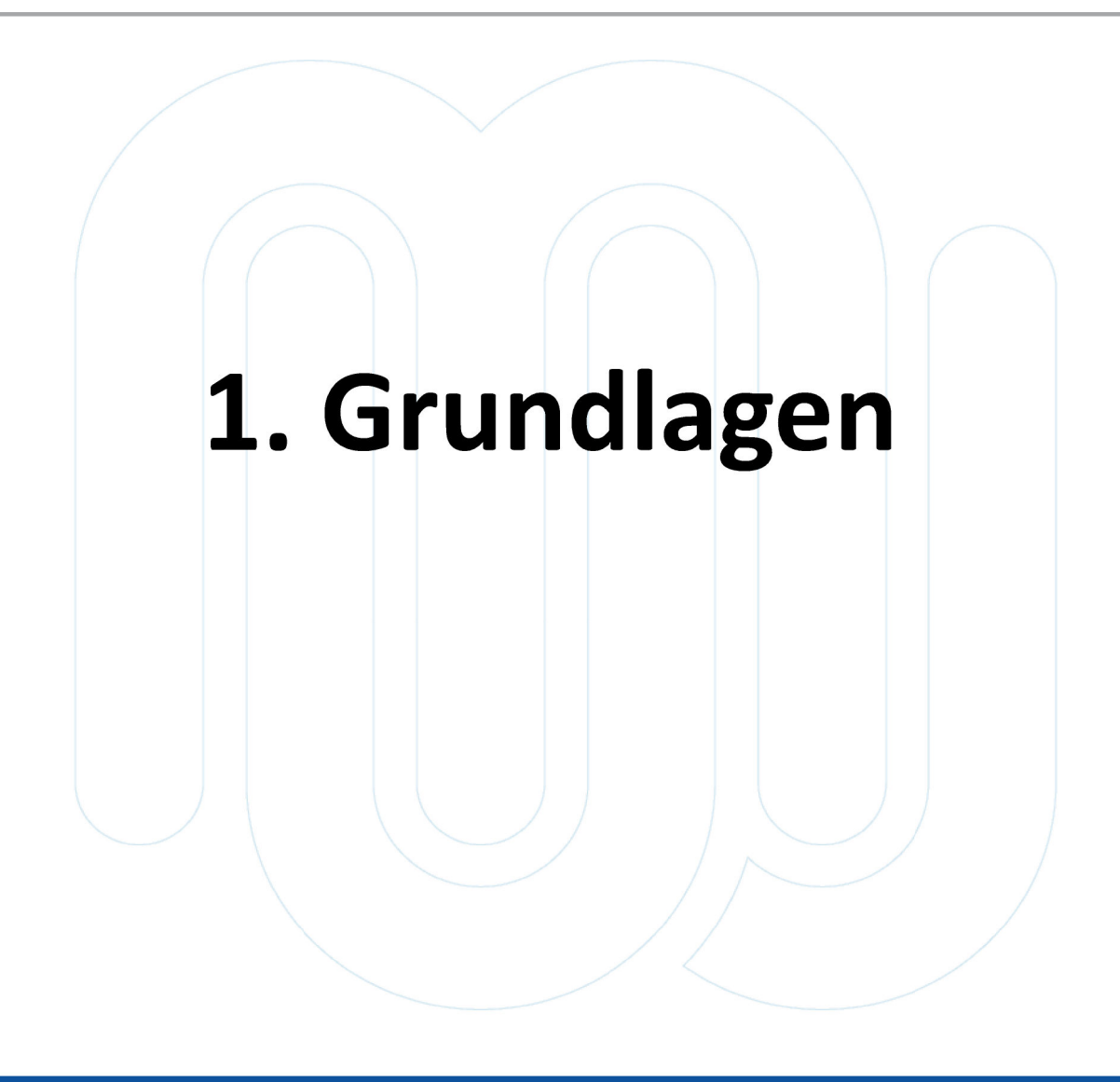


#### **Inhalt**

#### 3. Vergleichsstudie

- Gegenüberstellung IMXT, IMPT, 12C
- Dosimetrischer Vergleich Dosisverteilung
- Patienten mit Meningiomen
- Vergleich Zielvolumen und Risikoorgane







#### 1. Grundlagen / Geschichte

- 1895: W. C. Röntgen entdeckt neue Strahlung (Röntgenstrahlung bzw. X-Rays)
- 1896: L. Freund erste Radiotherapie in Wien



- Um 1930: C. Regaud und H. Coutard führen die fraktionierte
   Therapie ein
- 1960 heute: Anwendung von Linearbeschleuniger

(E = 10 keV - 18 MeV)

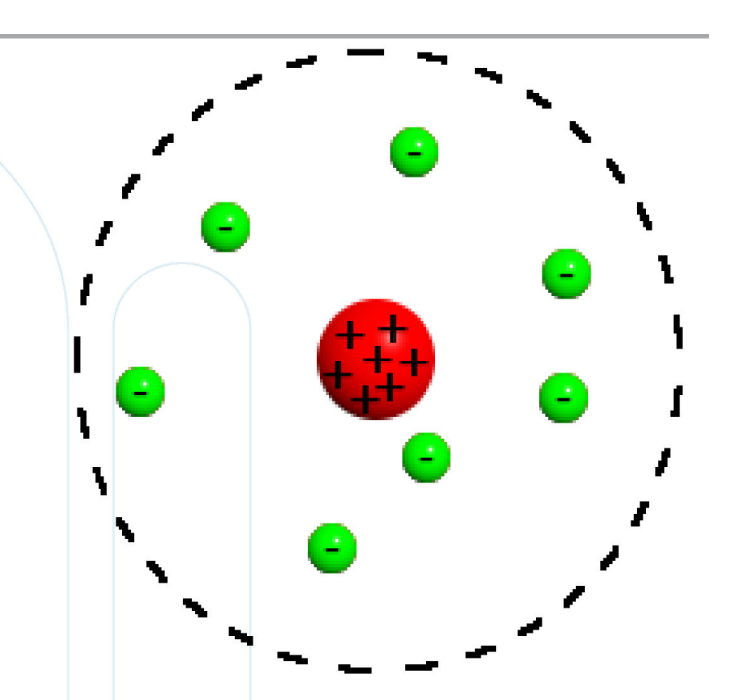


#### 1. Grundlagen / Geschichte

1911: E. Rutherfords Atommodell



1930-1950: Kreisbeschleuniger

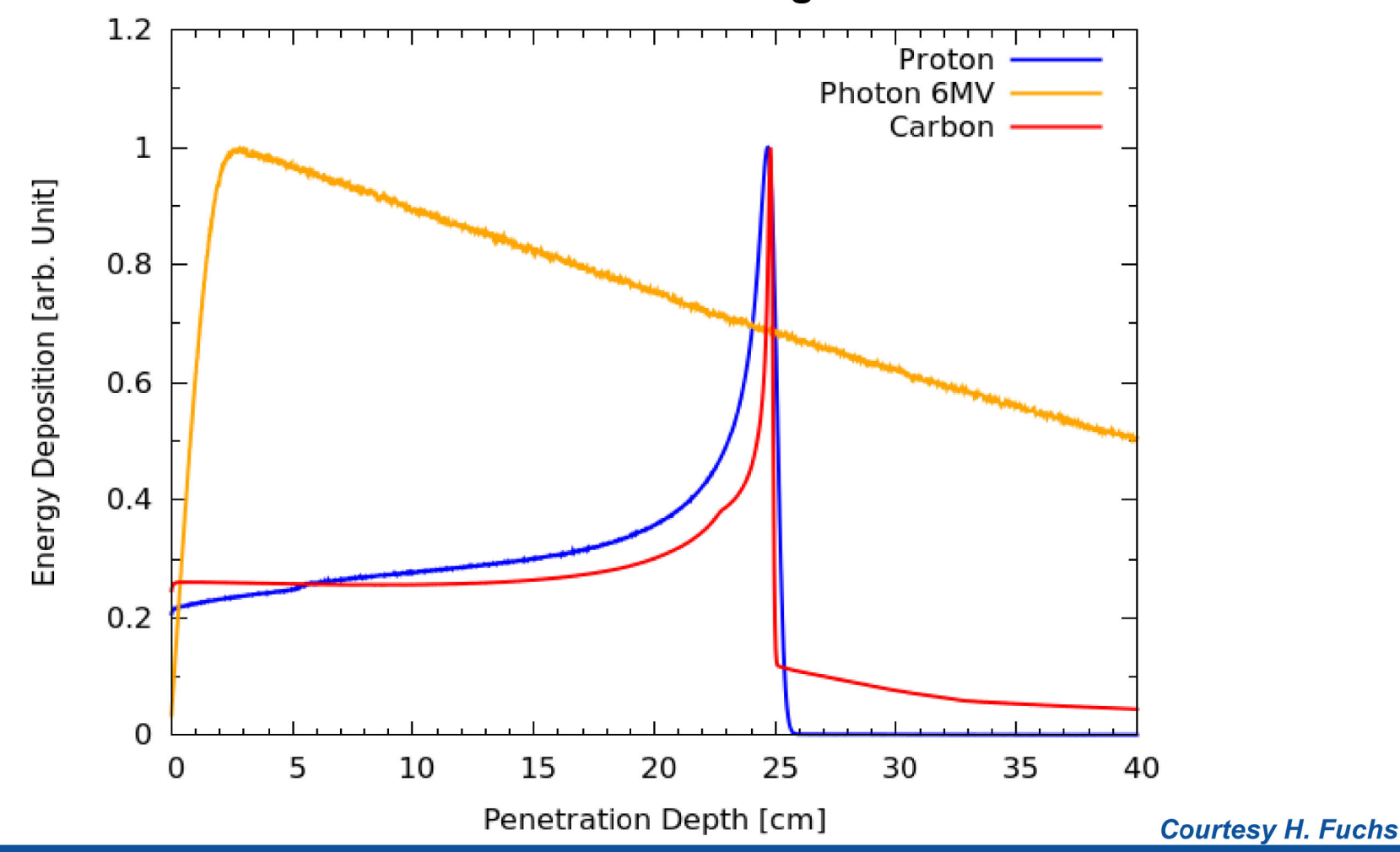


 1946: R. Wilson schlägt Protonen und Leichtionen aufgrund Dosisverteilungen für Krebsbestrahlung vor



#### 1. Grundlagen / Motivation

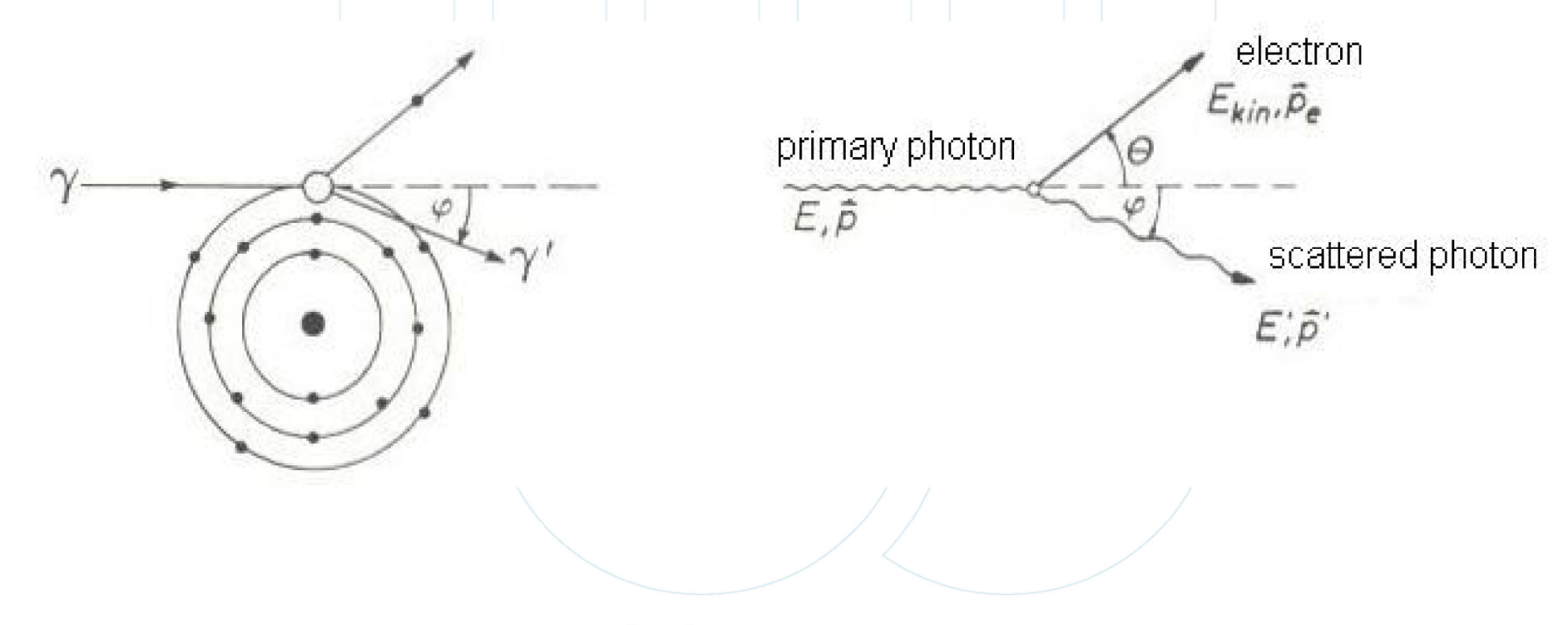
# Tiefendosisverteilung von Photonen, Protonen und Kohlenstoffionen als Funktion der Eindringtiefe





#### 1. Grundlagen / Wechselwirkungen (Photonen)

- Kohärente Streuung
- Inkohärente Streuung (Comptonstreuung):

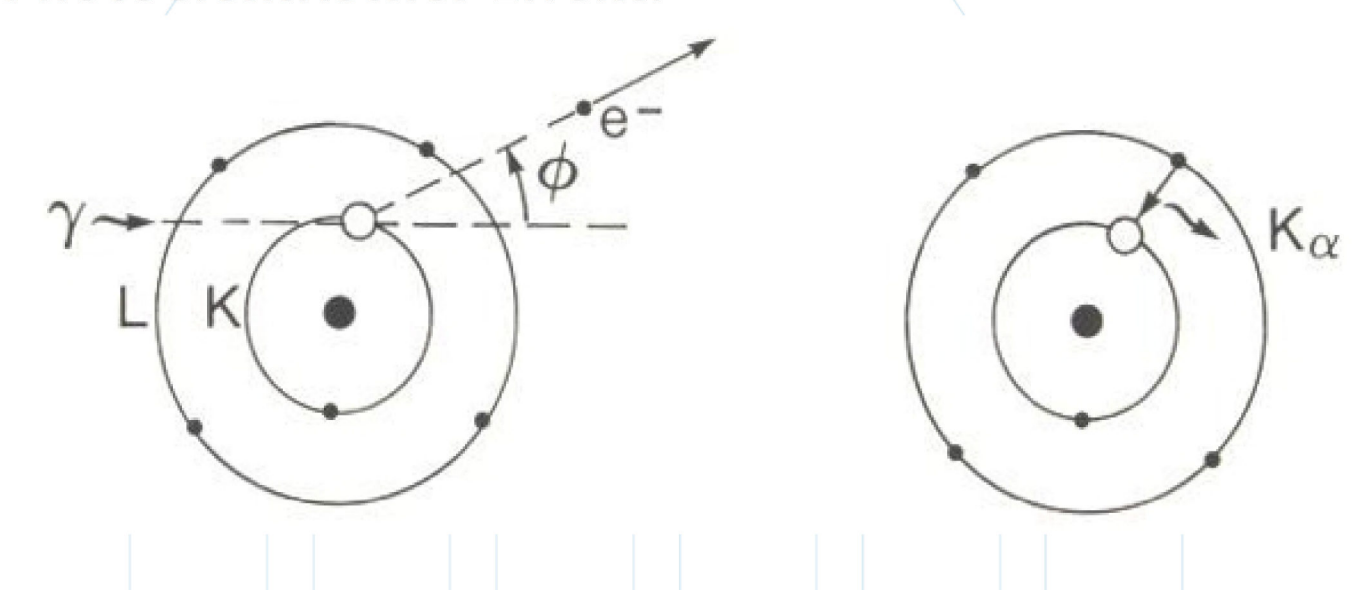






#### 1. Grundlagen / Wechselwirkungen (Photonen)

Photoelektrischer Effekt:

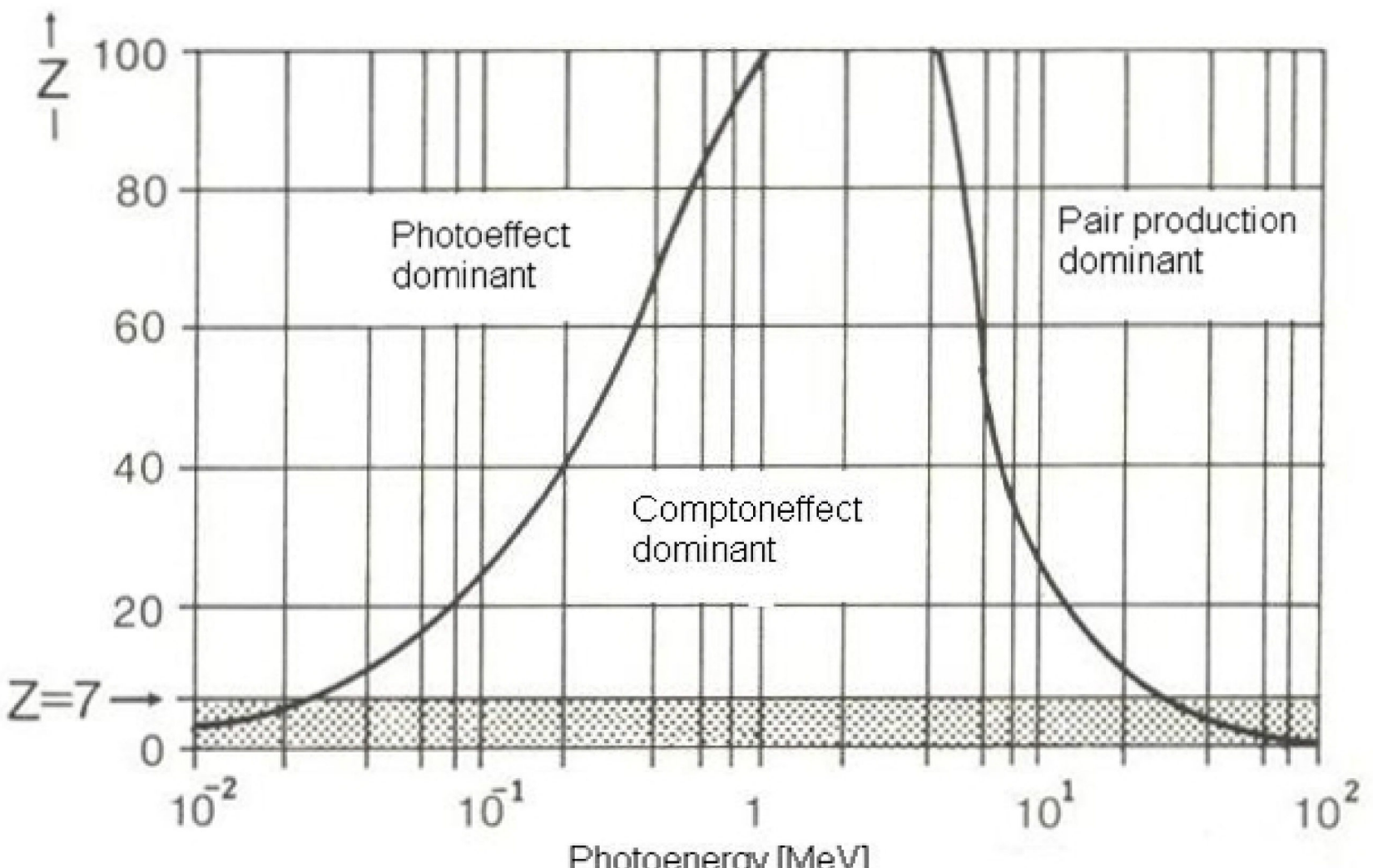


Paarbildung:

**Bildung von Elektron-Positronpaar > 1.022 MeV** 



#### 1. Grundlagen / Wechselwirkungen (Photonen)

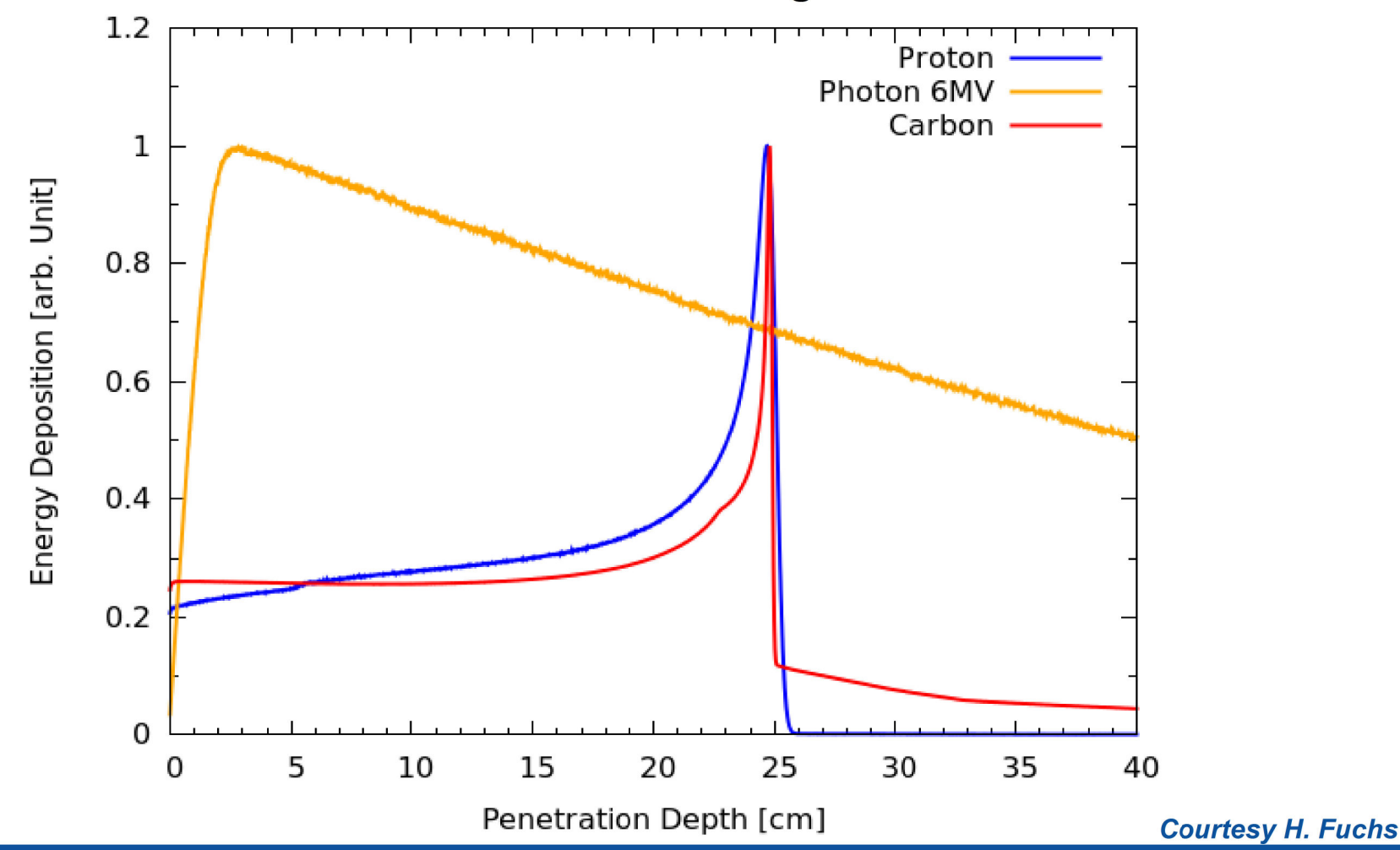


Photoenergy [MeV]
Courtesy H. Krieger und W. Petzold, "Strahlenphysik, Dosimetrie und Strahlenschutz I."



#### 1. Grundlagen / Motivation

# Tiefendosisverteilung von Photonen, Protonen und Kohlenstoffionen als Funktion der Eindringtiefe





#### 1. Grundlagen / Wechselwirkungen (Ionen)

Bremsvermögen (Stopping power)

$$S_{col} = \frac{dE}{dx_{col}} \approx \rho \frac{Z}{A} \frac{(z * e)^2}{v^2}$$

... Materialeigenschaft (Energieabsorptionsvermögen)

ρ ... Dichte des Materials

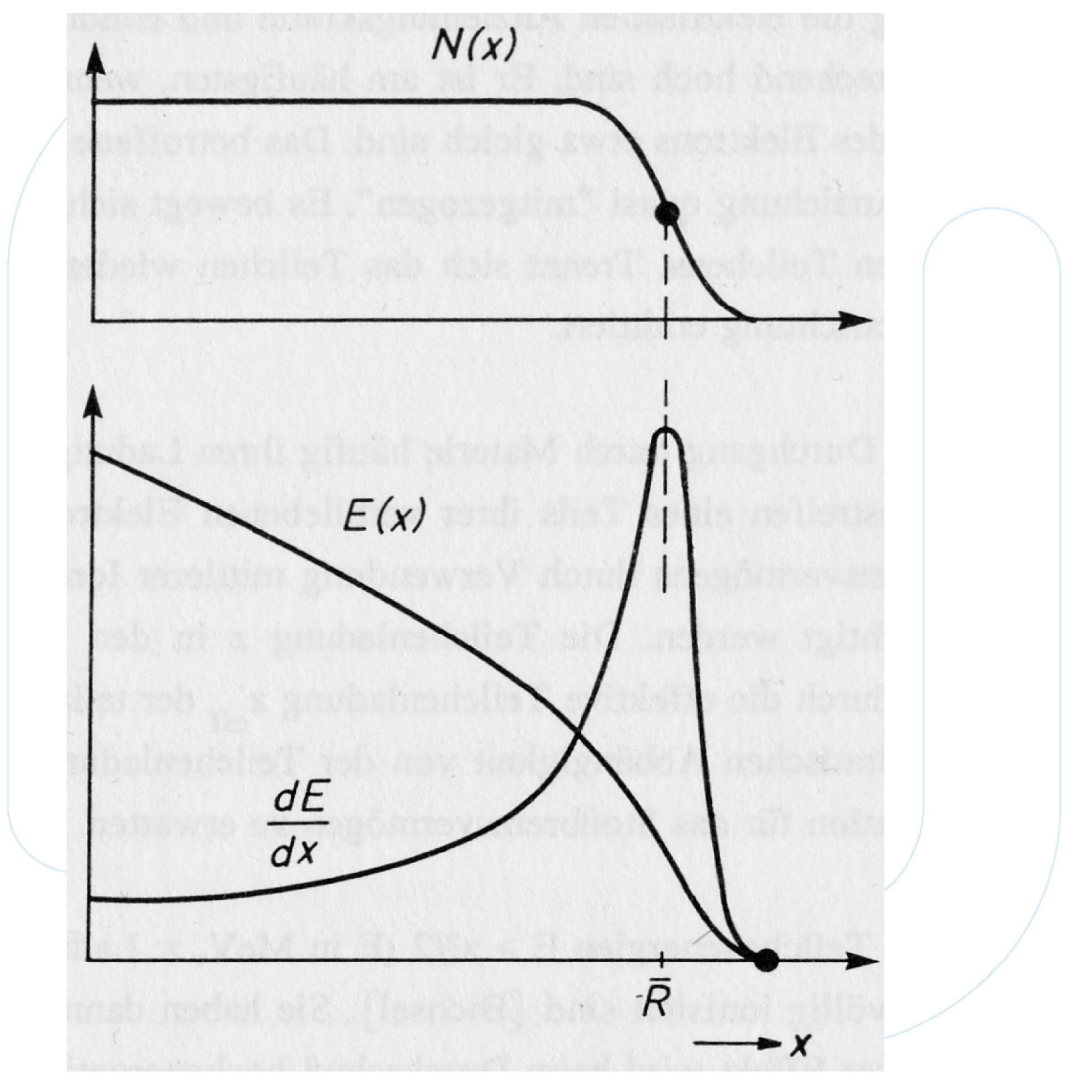
Z/A ... Ordnungszahl/Nukleonenzahl des Materials

z/e ... Ladungen des Ions

v ... Geschwindigkeit des Ions



## 1. Grundlagen / Wechselwirkungen (Ionen)

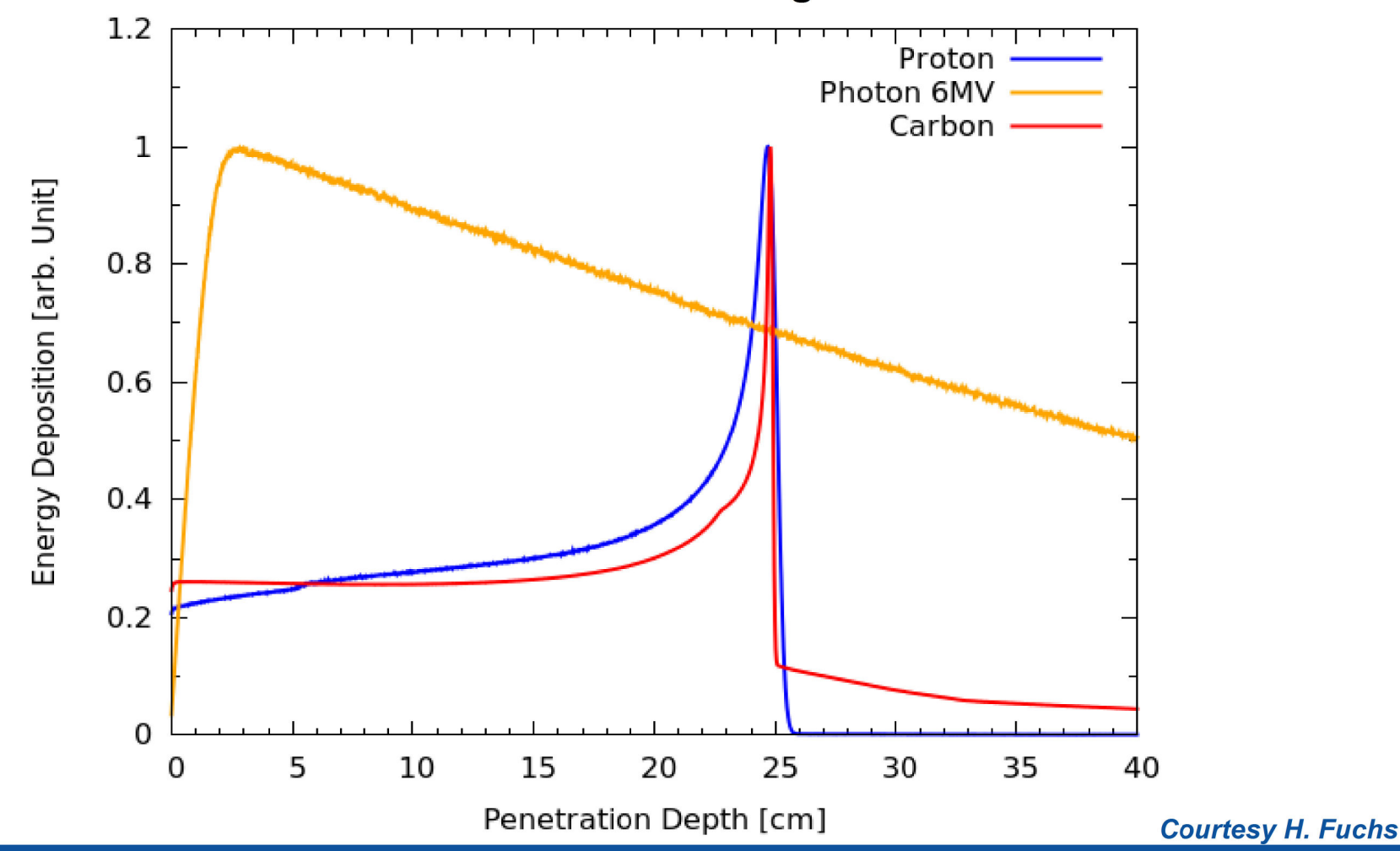


Courtesy H. Krieger und W. Petzold, "Strahlenphysik, Dosimetrie und Strahlenschutz I."



#### 1. Grundlagen / Motivation

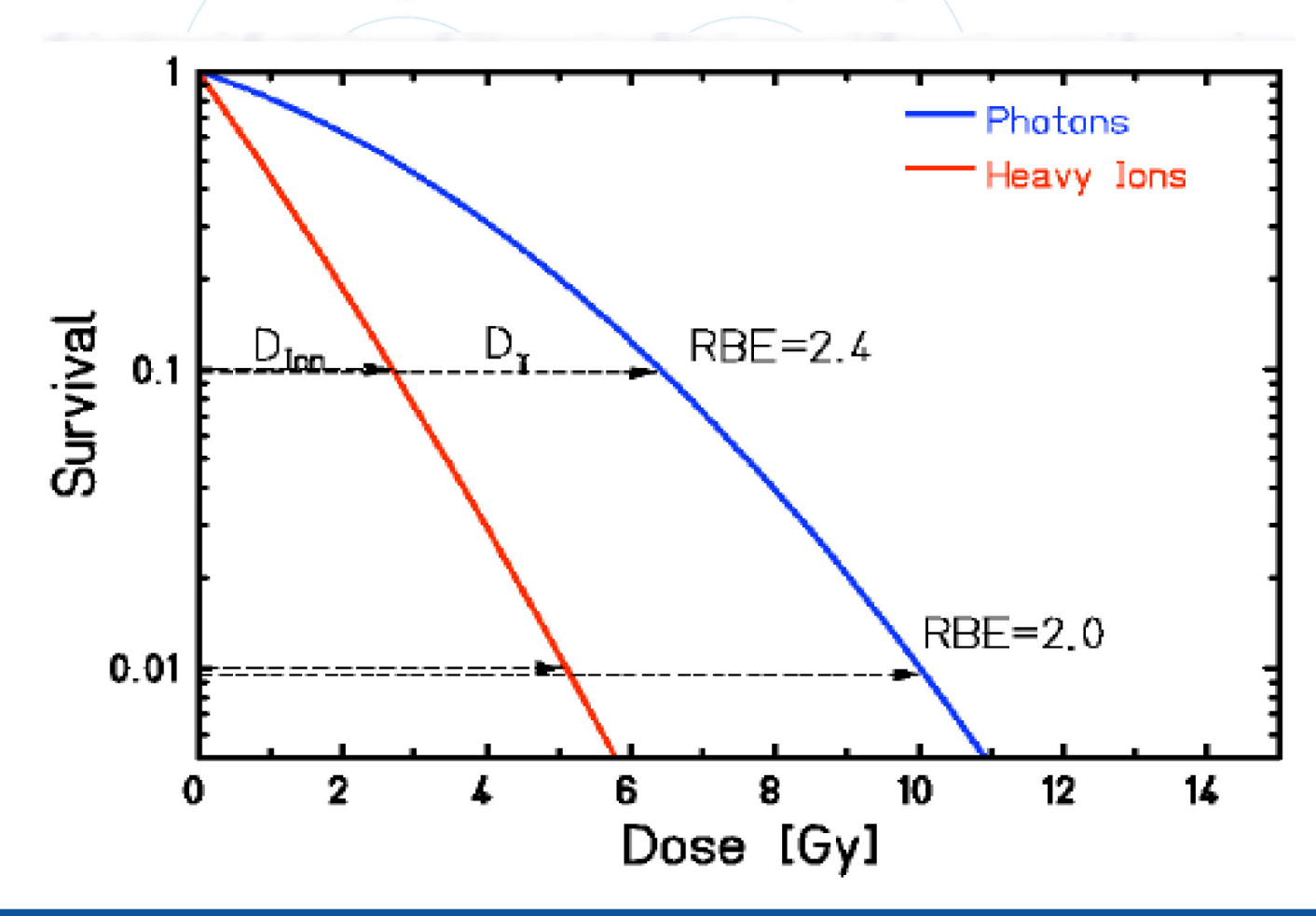
# Tiefendosisverteilung von Photonen, Protonen und Kohlenstoffionen als Funktion der Eindringtiefe





#### 1. Grundlagen / Wechselwirkungen (Ionen)

Relative biologische Effizienz (RBE):

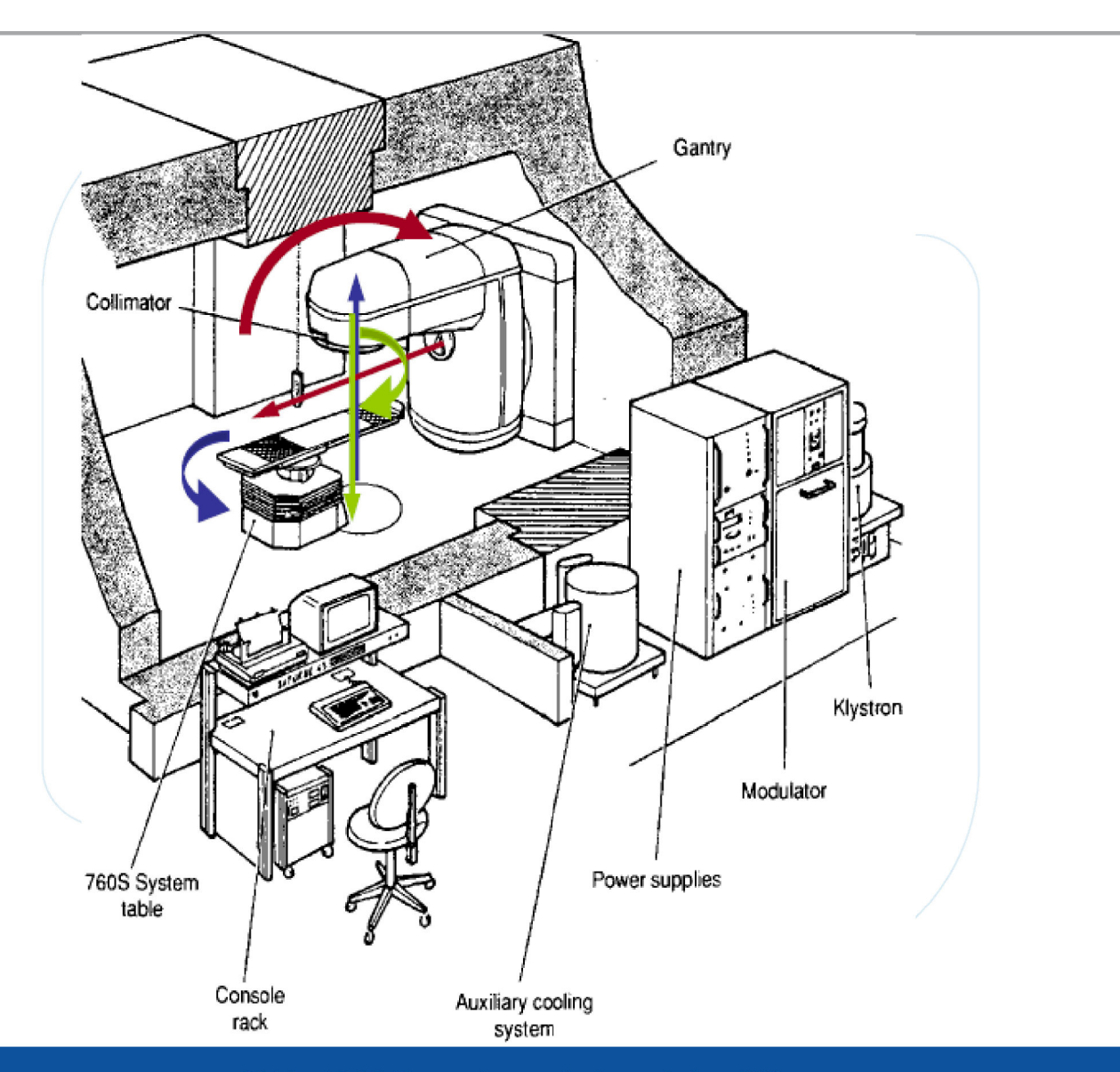




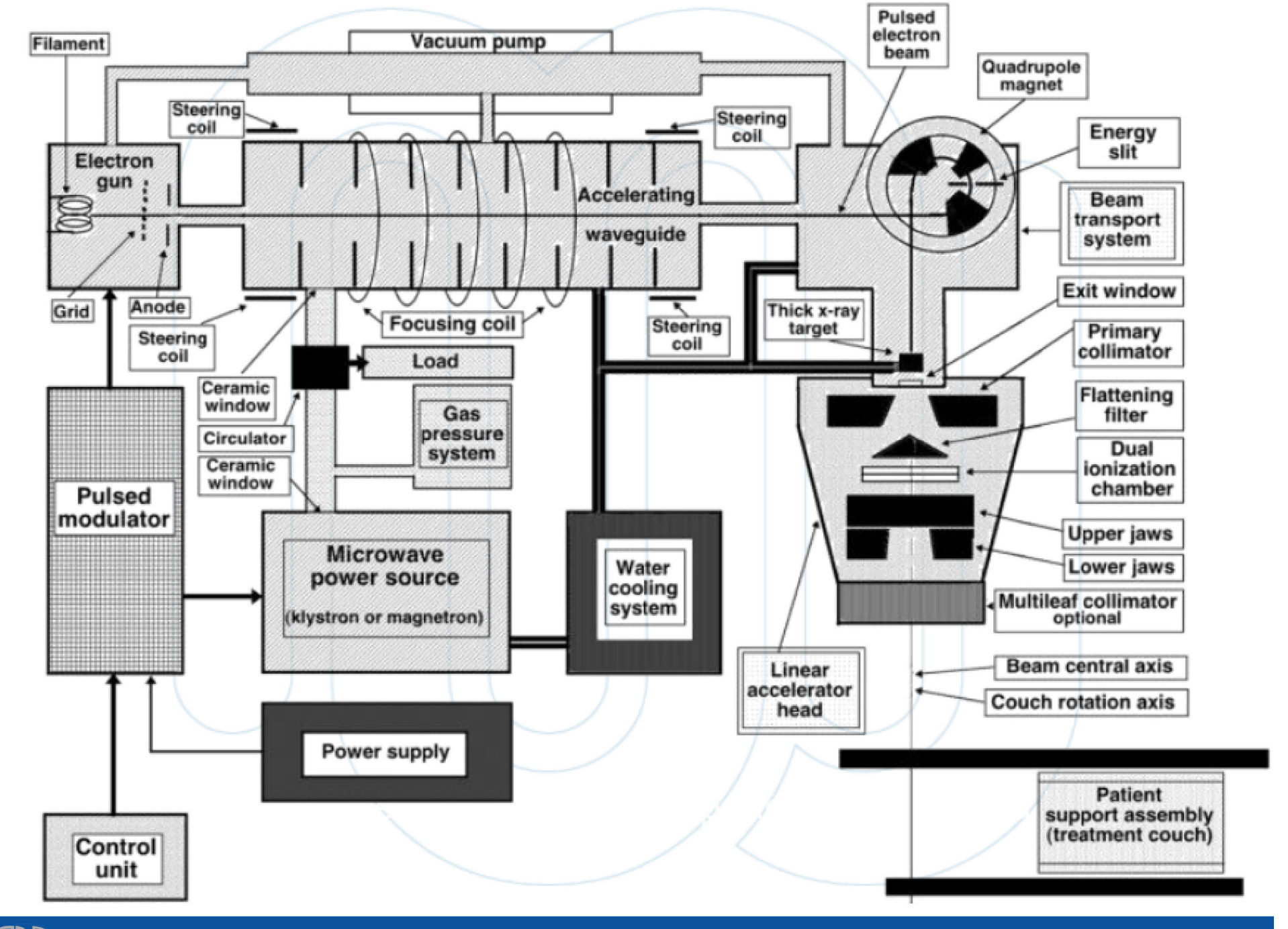




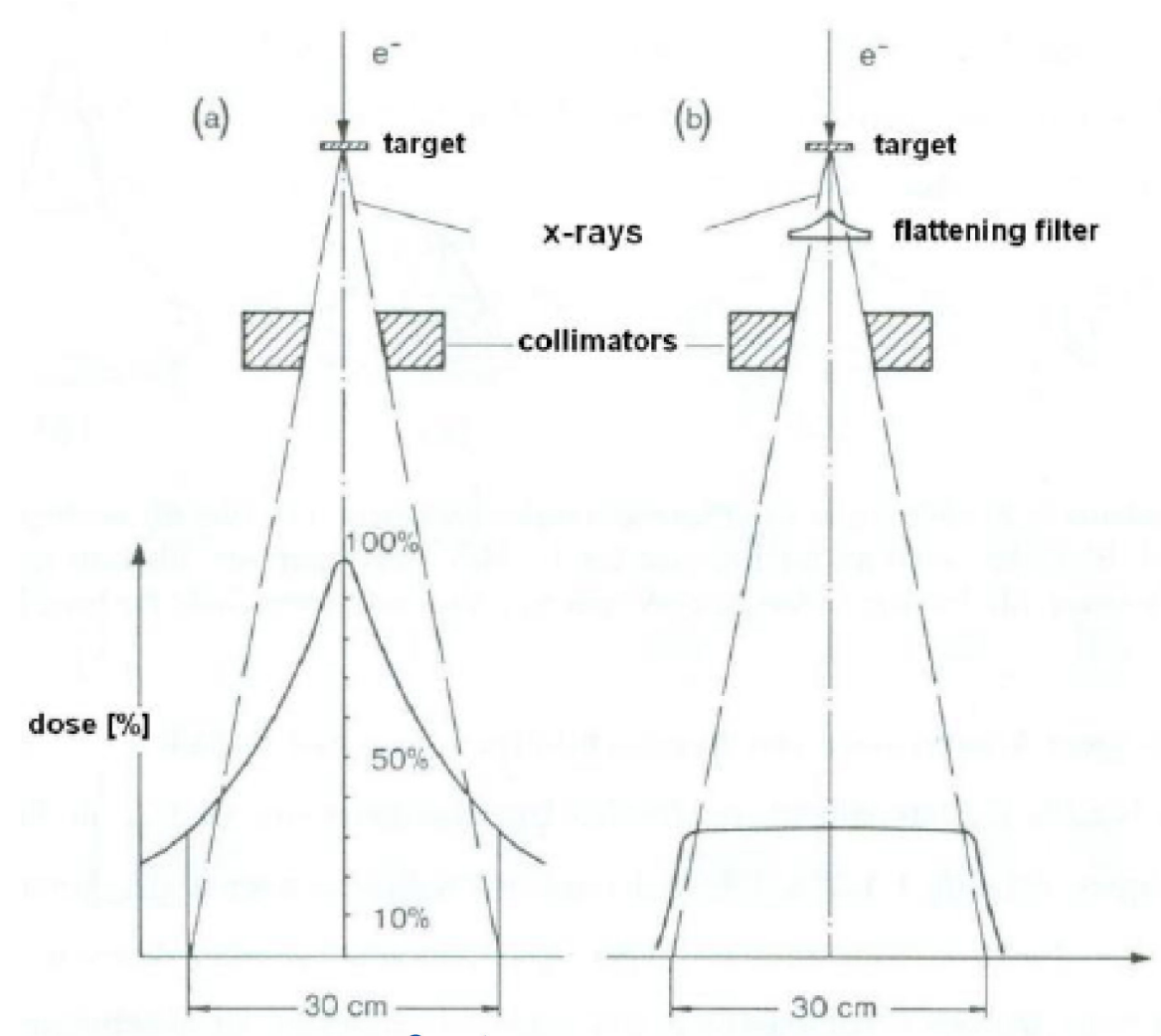
## 2. Strahlentherapie / Linearbeschleuniger - Photonen







#### 2. Strahlentherapie / Linearbeschleuniger - Photonen

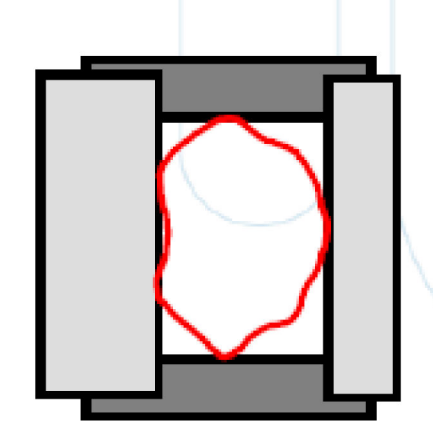


Courtesy H. Krieger und W. Petzold, "Strahlenphysik, Dosimetrie und Strahlenschutz II."

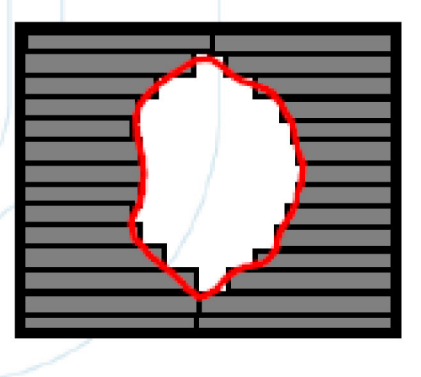


#### 2. Strahlentherapie / Linearbeschleuniger - Photonen

- Multileaf Collimator (MLC):
  - Viele aneinandergereihte Wolframblätter
  - Individuell steuerbar
  - Spezifische Formung des Strahlenfeldes möglich

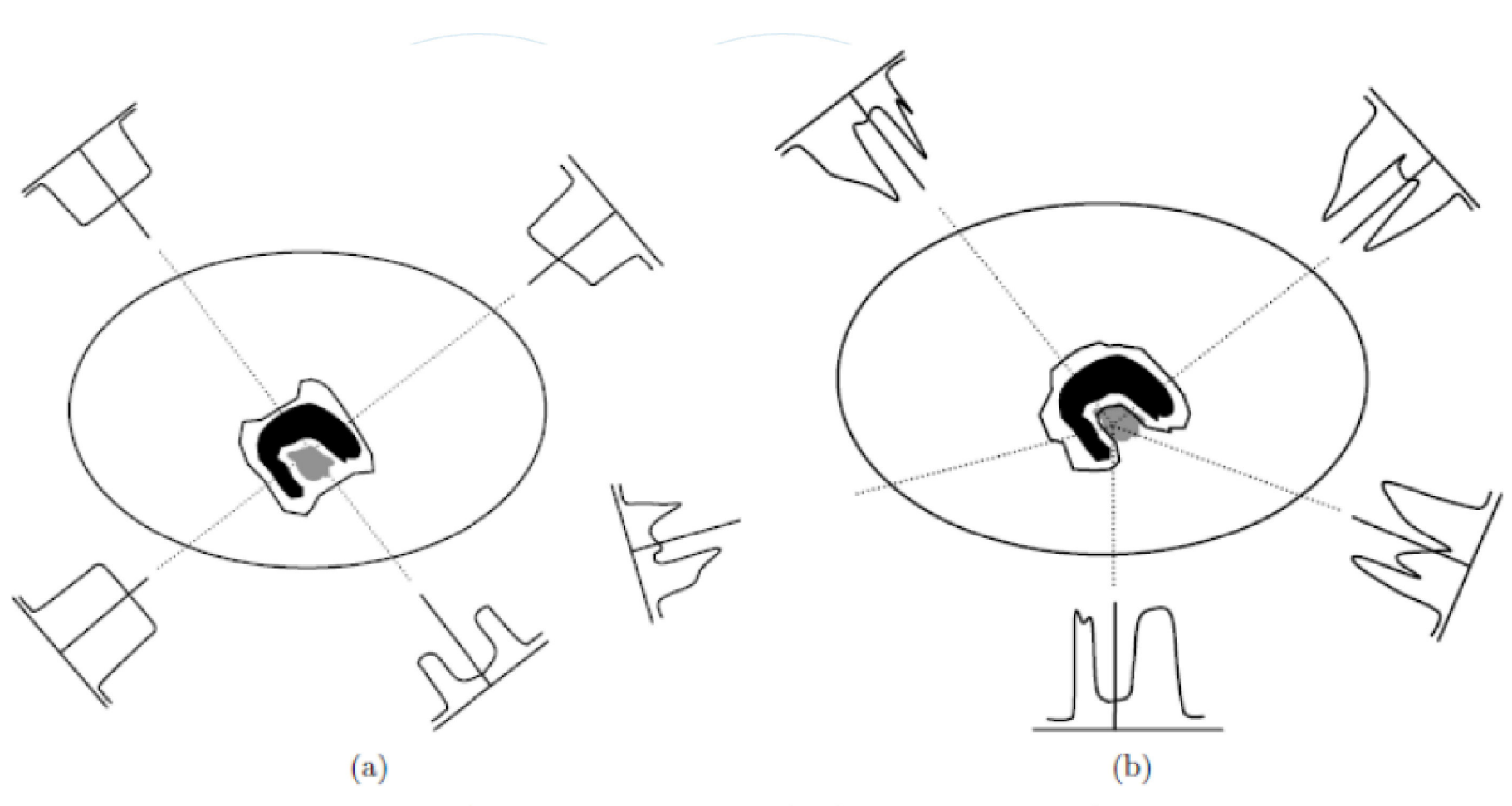








#### 2. Strahlentherapie / Bestrahlungstechniken - Photonen



Forward Planning (Konformale Radiotherapie)

Inverse Planning (Intensitätsmodulierte Radiotherapie)



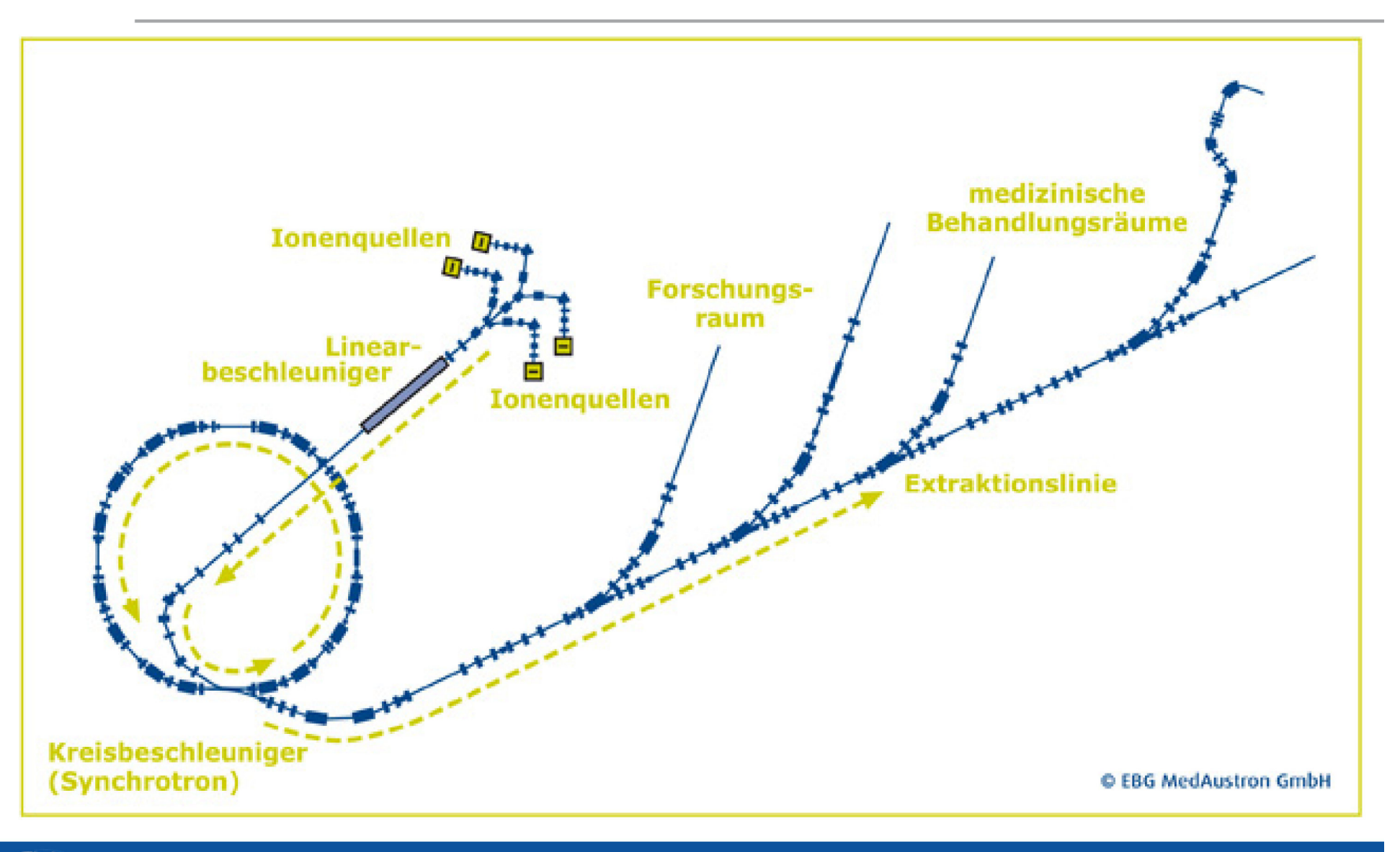
#### 2. Strahlentherapie / Bestrahlungstechniken - Photonen

- Intensitätsmodulierte Radiotherapie (IMRT/IMXT):
  - Keine einheitlichen Strahlenintensitäten
  - Dosis individuell "formbar" entsprechend "fluence maps"
  - Planungssystem optimiert, MLC definiert und erstellt "beamlets"





#### 2. Strahlentherapie / Kreisbeschleuniger - Ionen





#### 2. Strahlentherapie / Kreisbeschleuniger - Ionen

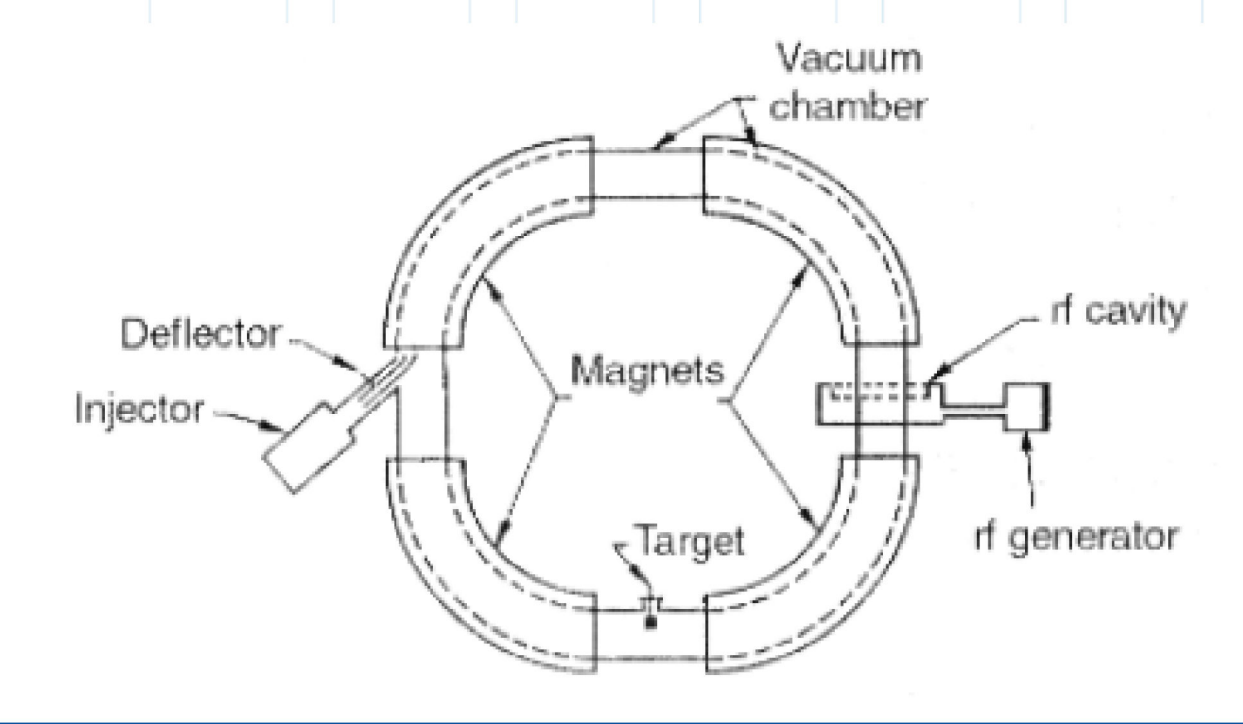
 Vorbeschleuniger: Ion source beam drift tubes



#### 2. Strahlentherapie / Kreisbeschleuniger - Ionen

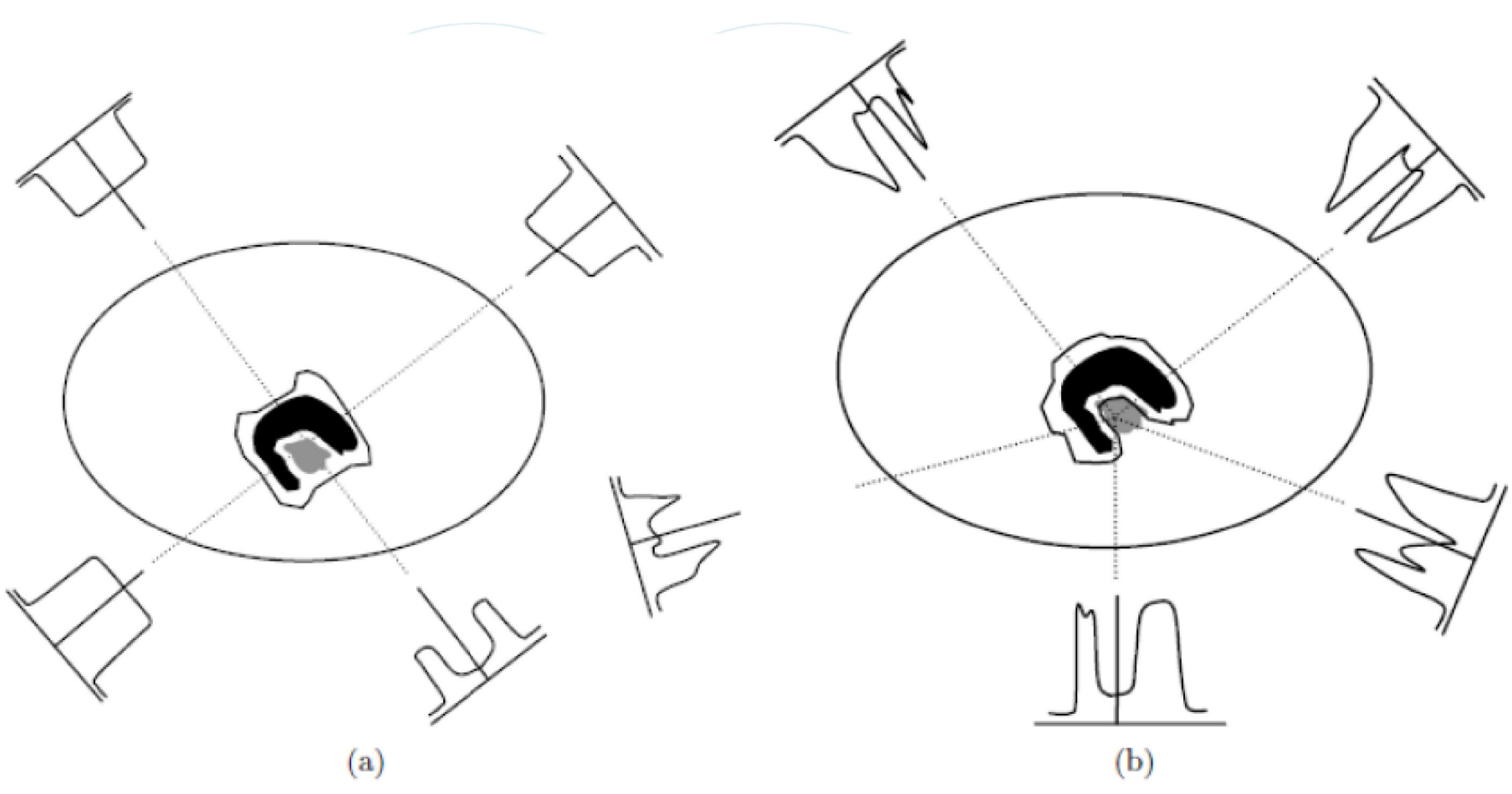
#### Synchrotron:

- Dipolmagnete: Beugefunktion
- · Quardupolmagnete: örtliche Fokussierung
- · Sextupol- Oktupolmagnete: Impulsfokussierung





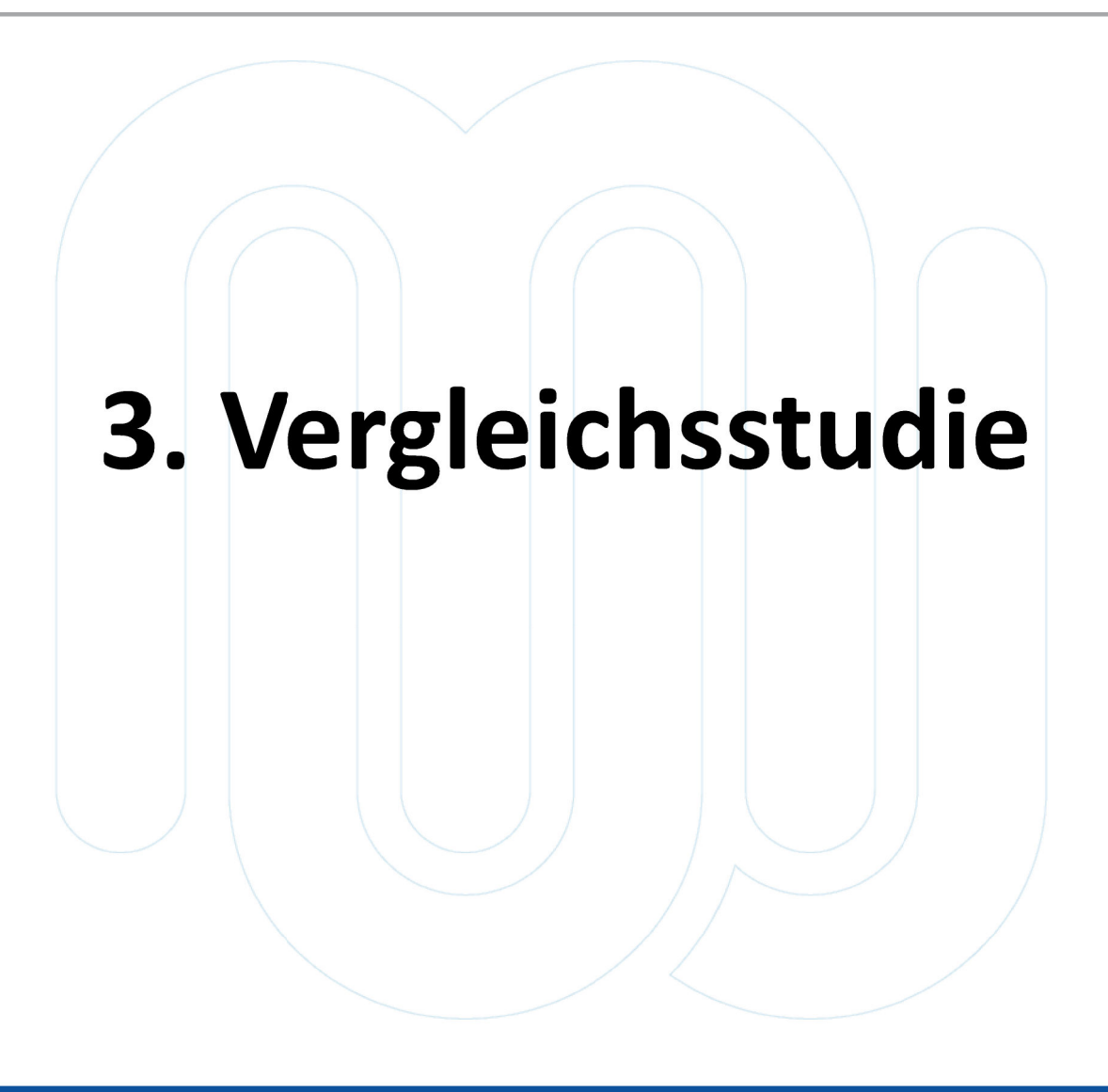
#### 2. Strahlentherapie / Bestrahlungstechniken - Ionen



Forward Planning (Single-field uniform dose)

Inverse Planning (Intensitätsmodulierte Ionentherapie IMPT/12C)







#### 3. Vergleichsstudie

#### Studien Anforderungen:

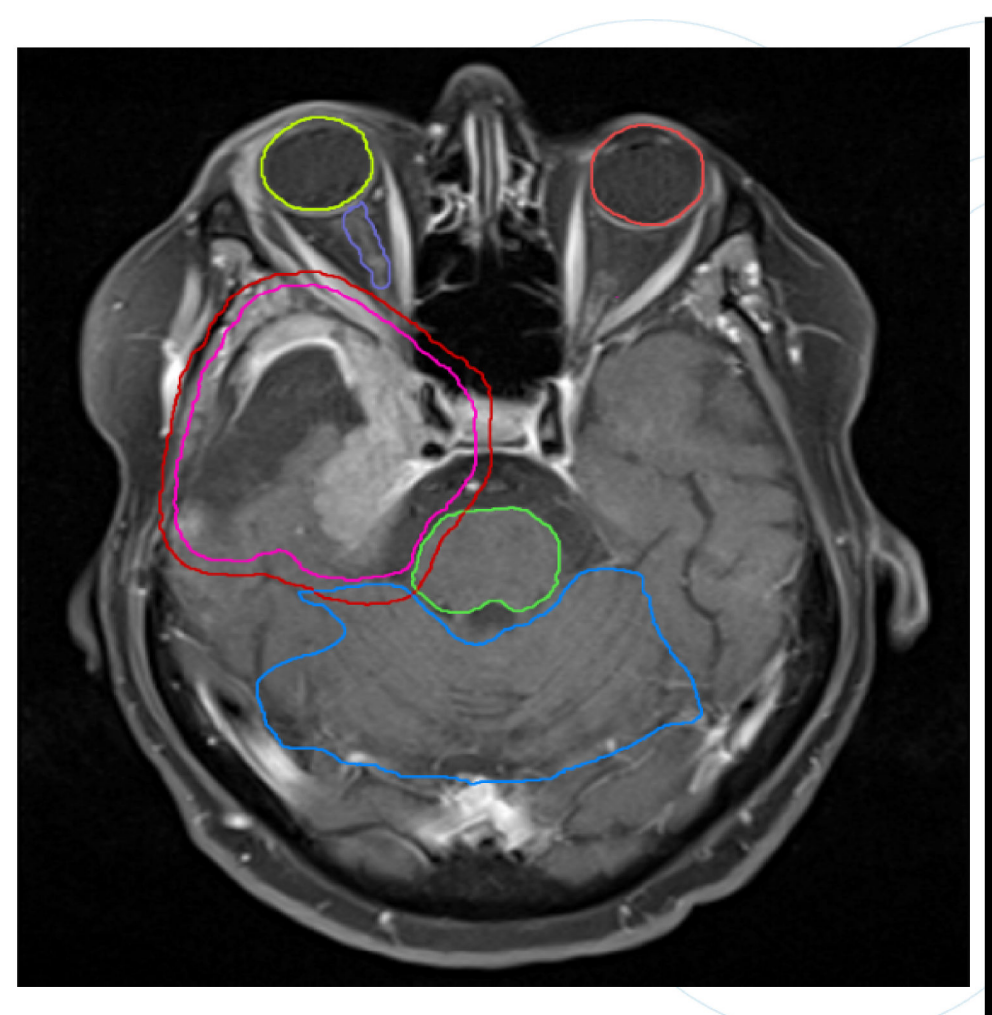
- Grundlage CT-Bilder von 10 Patienten mit Meningiomen
- · Erstellung diverser Bestrahlungsszenarien
- · Basierend auf 3 Strahlenmodalitäten
- Vergleich der Dosisverteilungen
- · Statistische Ermittlung der besten Therapieform

#### Therapieformen:

- Photonentherapie (IMXT)
- Protonentherapie (IMPT) -----> MEDAUSTRON
- Kohlenstoffionentherapie (12C) ----> MEDAUSTRON



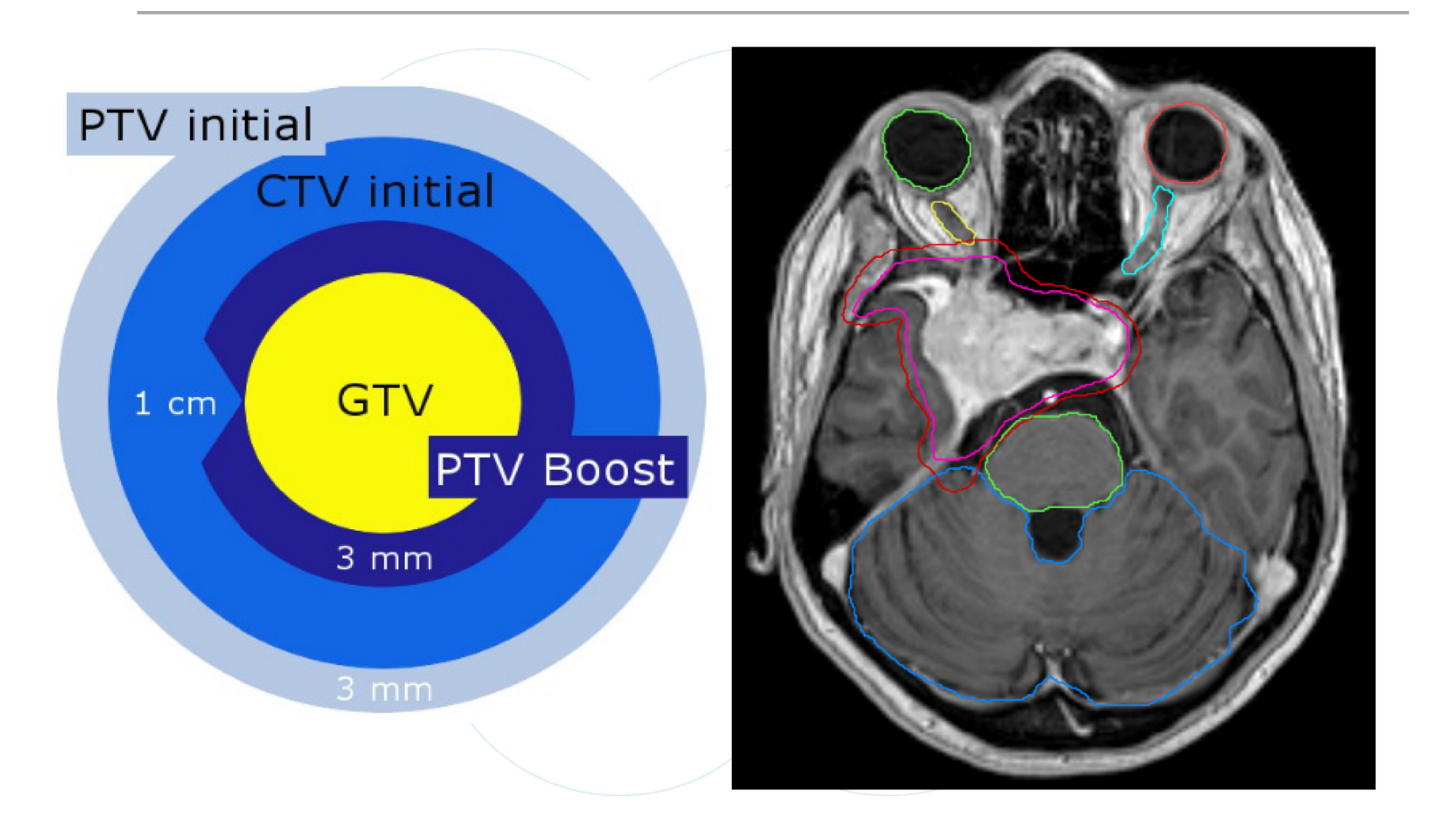
# 3. Vergleichsstudie - Meningiome





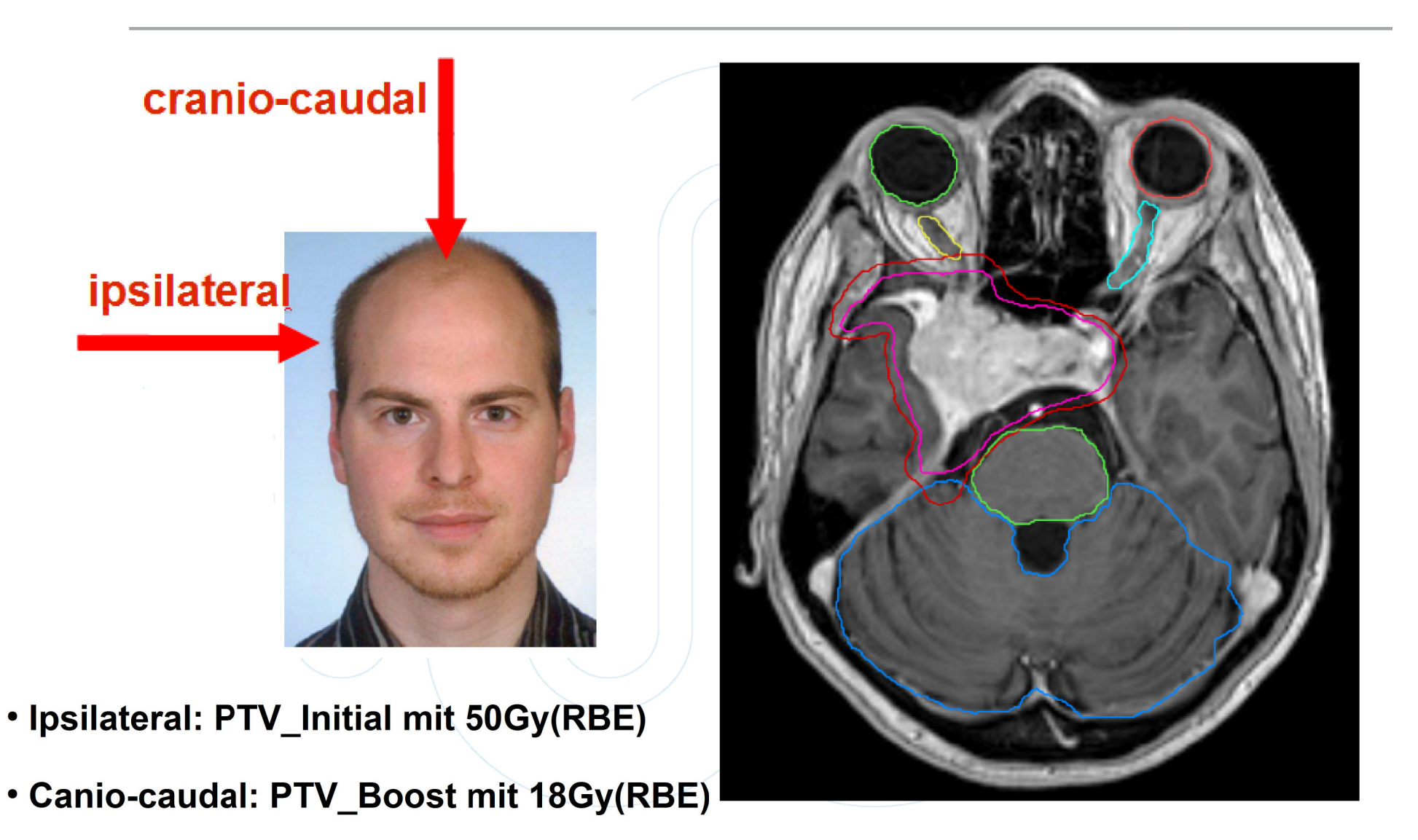


#### 3. Vergleichsstudie - Meningiome





### 3. Vergleichsstudie - Meningiome





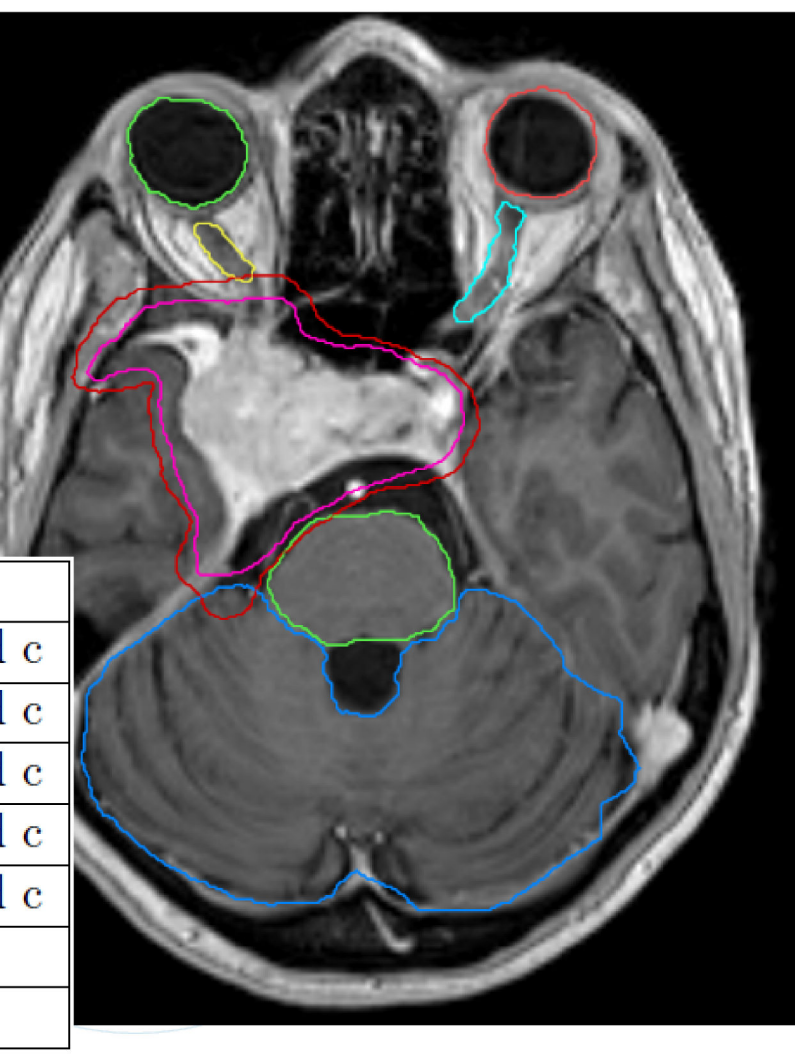
#### 3. Vergleichsstudie - Risikoorgane

#### Risikoorgane (Organs at Risk):

"Organs at risk are normal tissues whose radiation sensitivity may significantly influence treatment planning and/or prescribed dose."

(ICRU Report No.50)

Primary OAR		Secondary OAR		
Chiasm		Hippocampus	i and c	
Eye	i and c	Hypothalamus	i and c	
Optical Nerve	i and c	Cochlea	i and c	
Cerebellum		Brain hemisphere	i and c	
Brainstem		Lense	i and c	
Temporal Lobe	i and c			
Hypophysis				





#### 3. Vergleichsstudie - Studiendesign

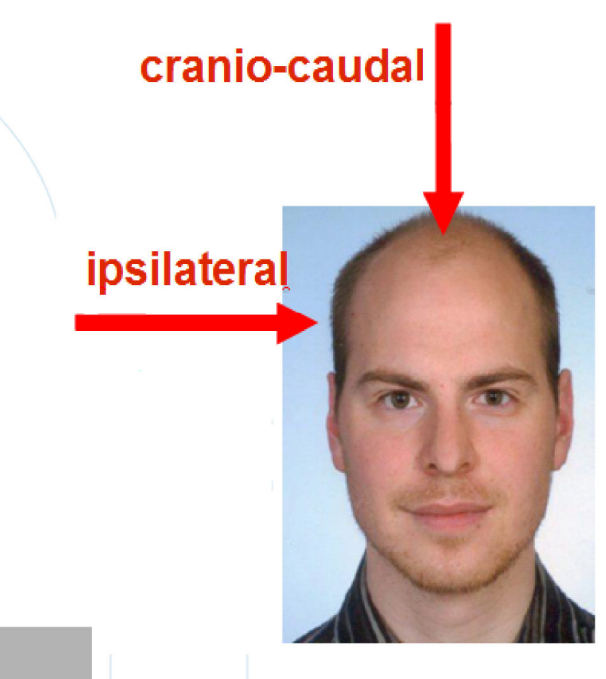
- 10 Patienten mit Meningiomen
- 2 geplante Zielvolumina:

→ PTV\_initial: 25 x 2 Gy(RBE)

→ PTV\_Boost: 6 x 3 Gy(RBE)

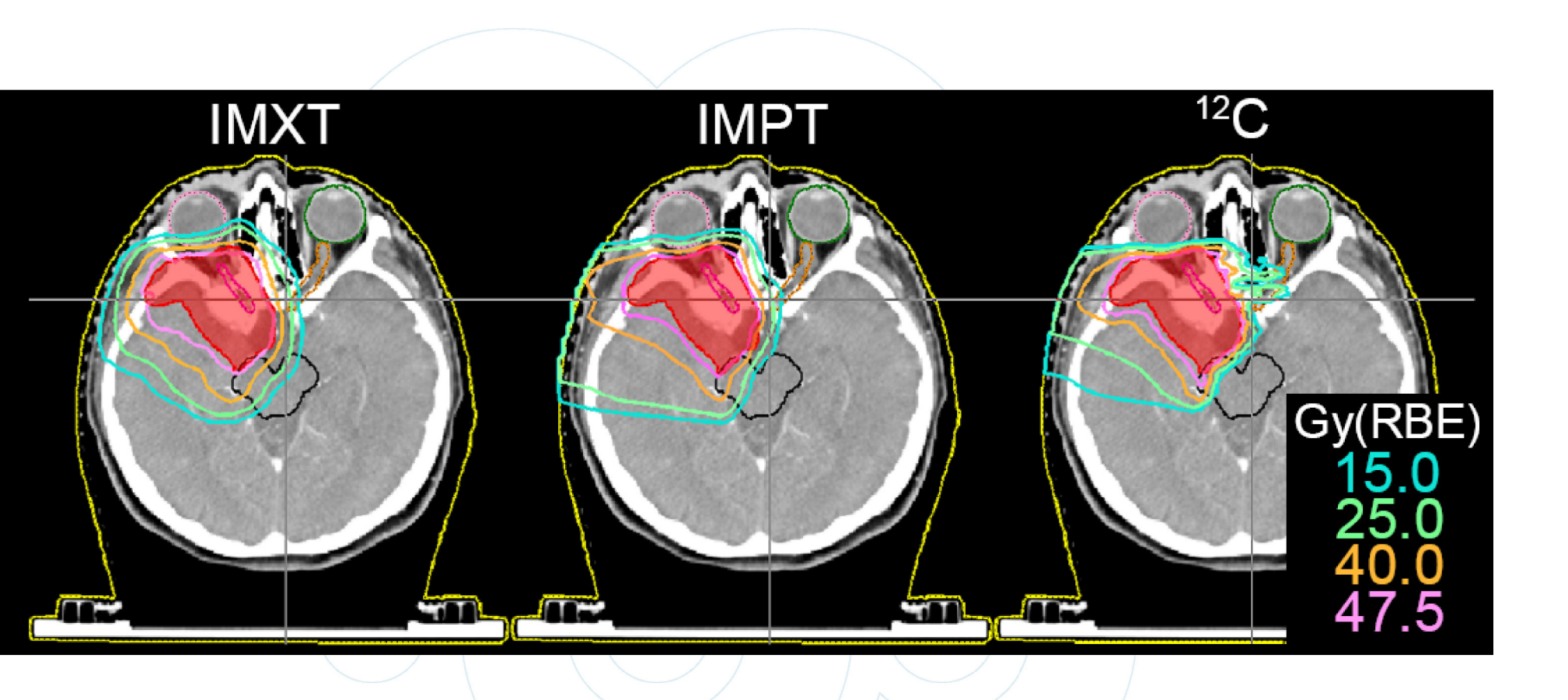
Kombination der Therapieformen:

Initial		Boost	
IMXT	12C	IMPT	IMXT
Protonen (IMPT)	12C	IMPT	
Kohlenstoffionen (12C)	<b>12C</b>		



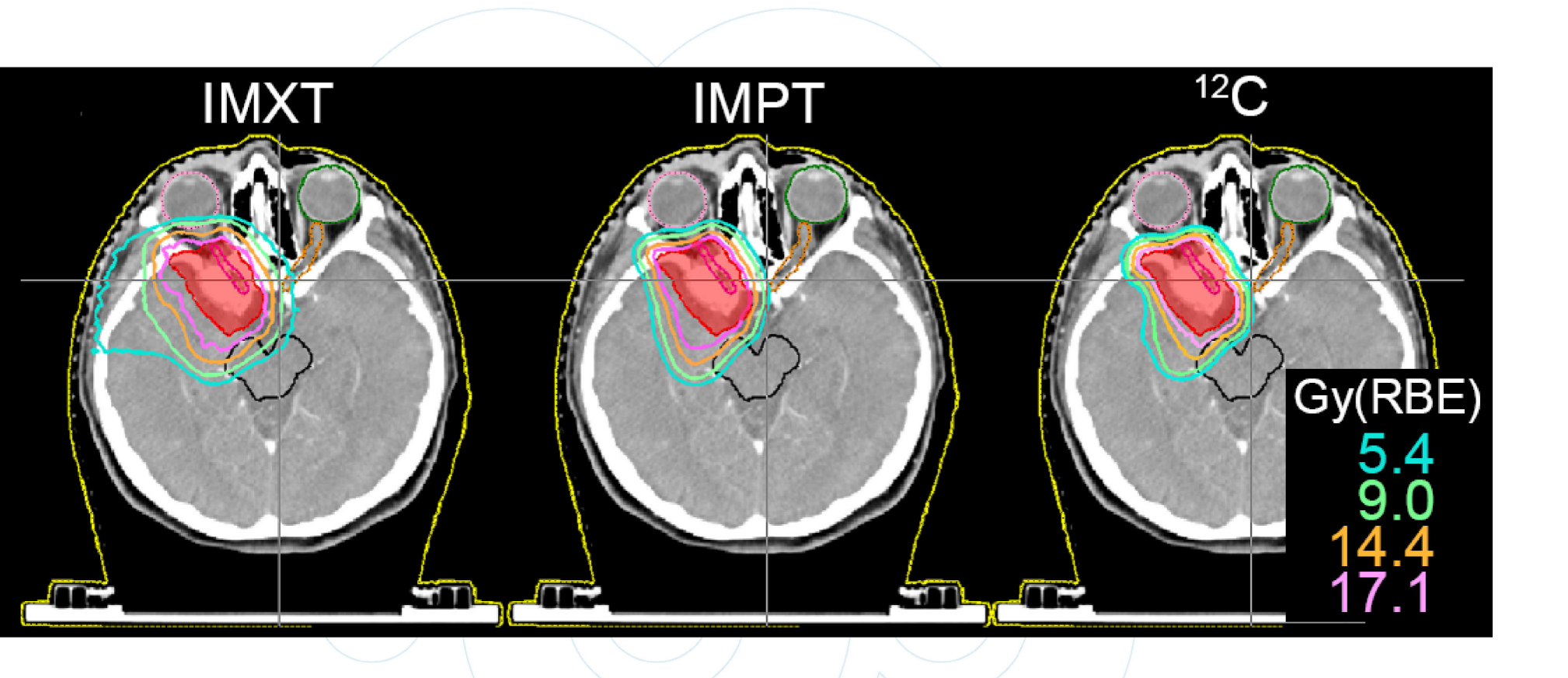
→ Statistische Auswertung mit MATLAB-basiertem Software Tool (MathWorks, R20012b,64 bit)

## 3. Vergleichsstudie – Ergebnisse - PTV\_Initial



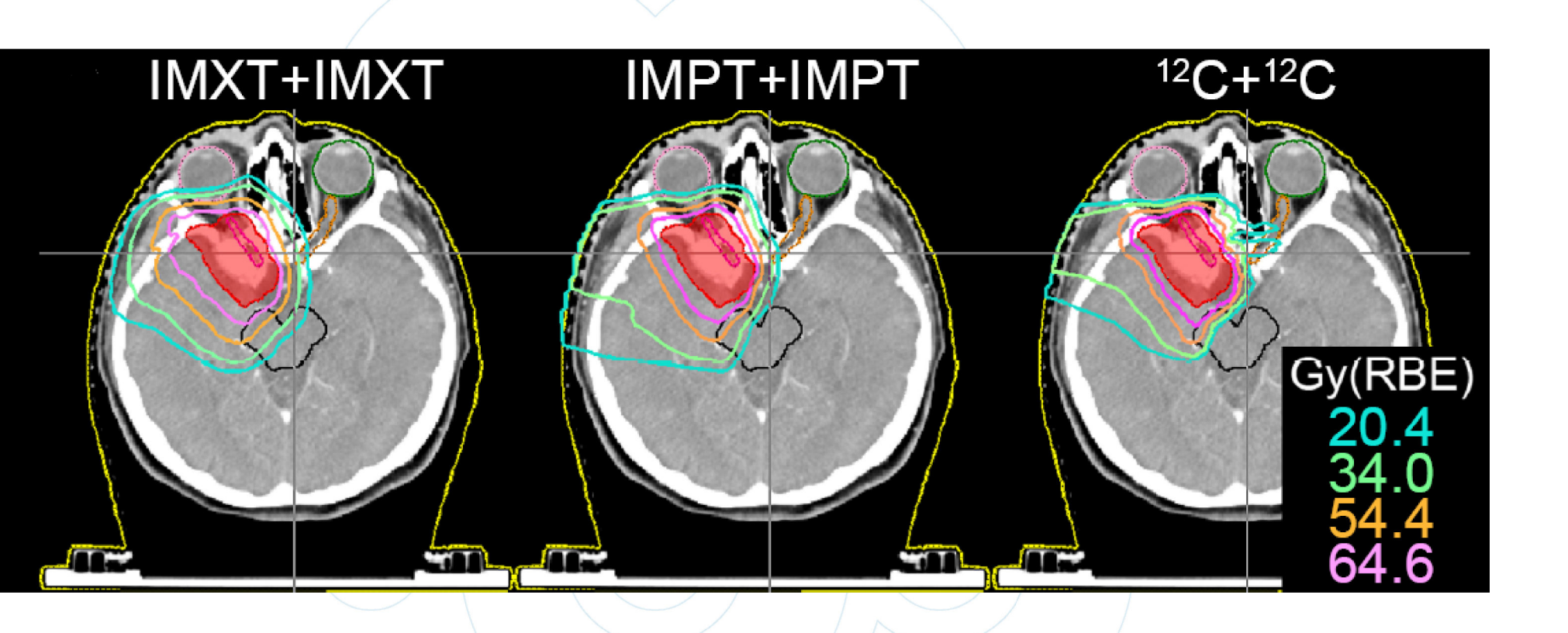


#### 3. Vergleichsstudie – Ergebnisse - PTV-Boost



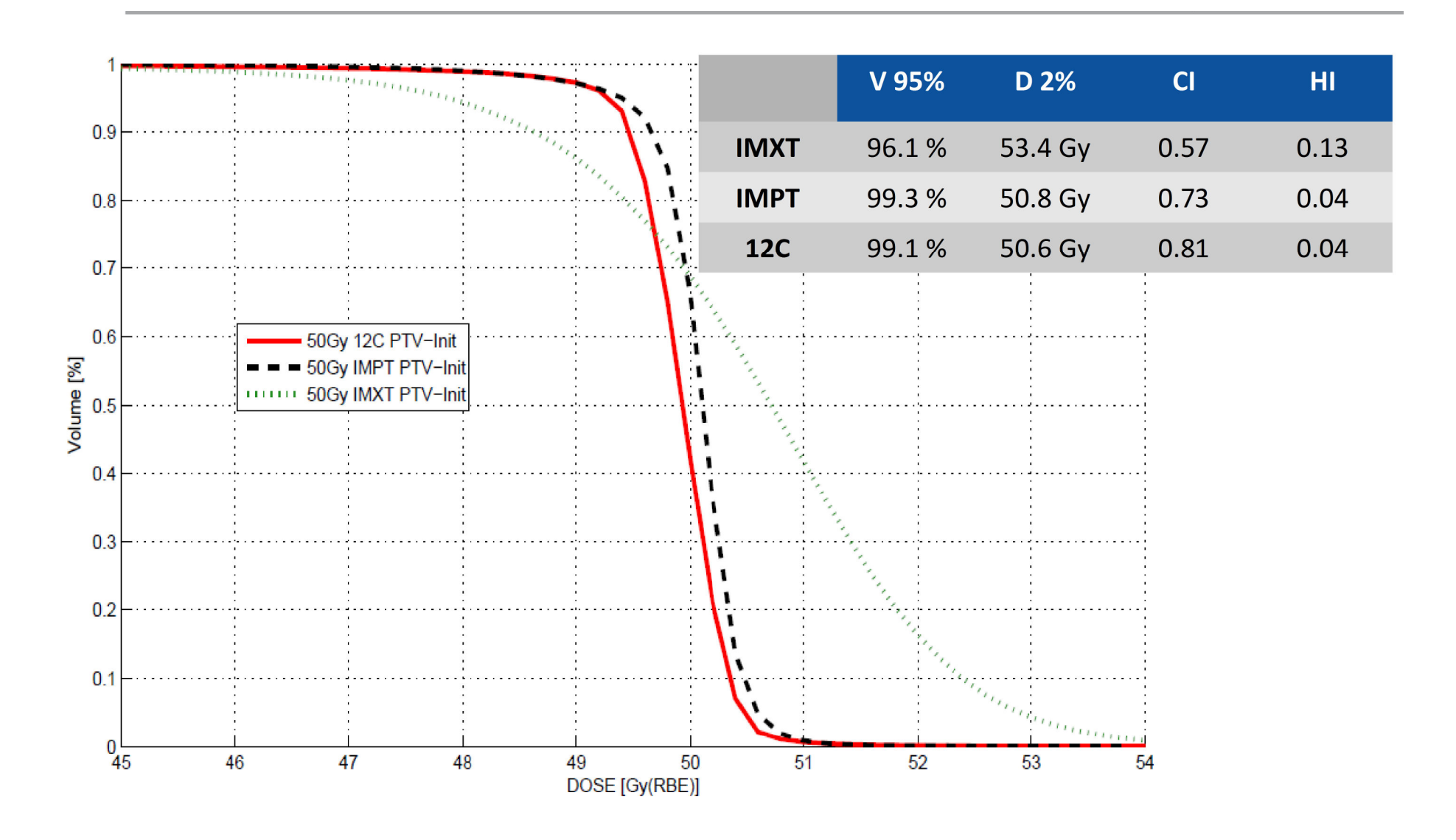


### 3. Vergleichsstudie – Ergebnisse - Kombinationen



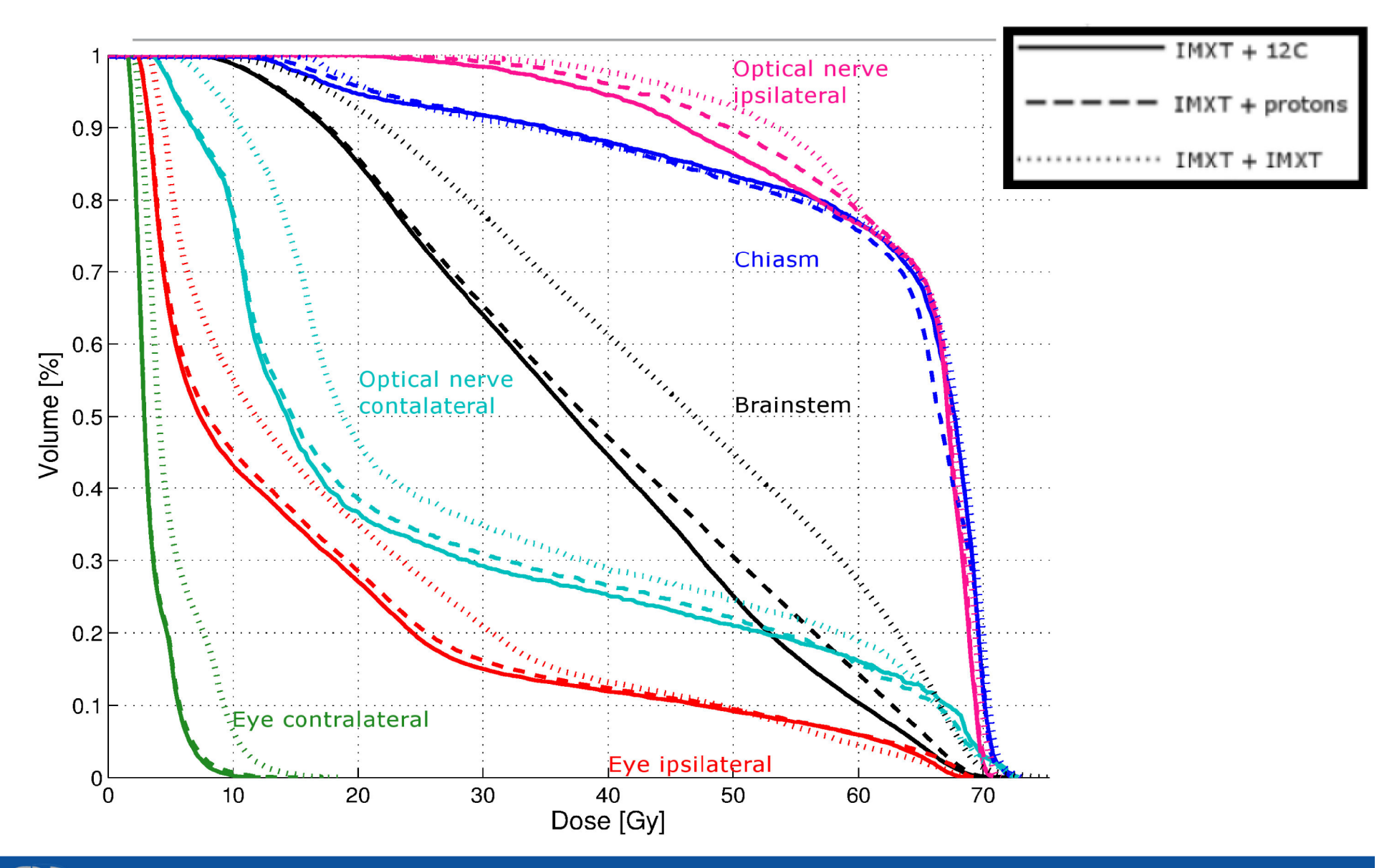


#### 3. Vergleichsstudie – PTV initial [50 Gy (RBE)]



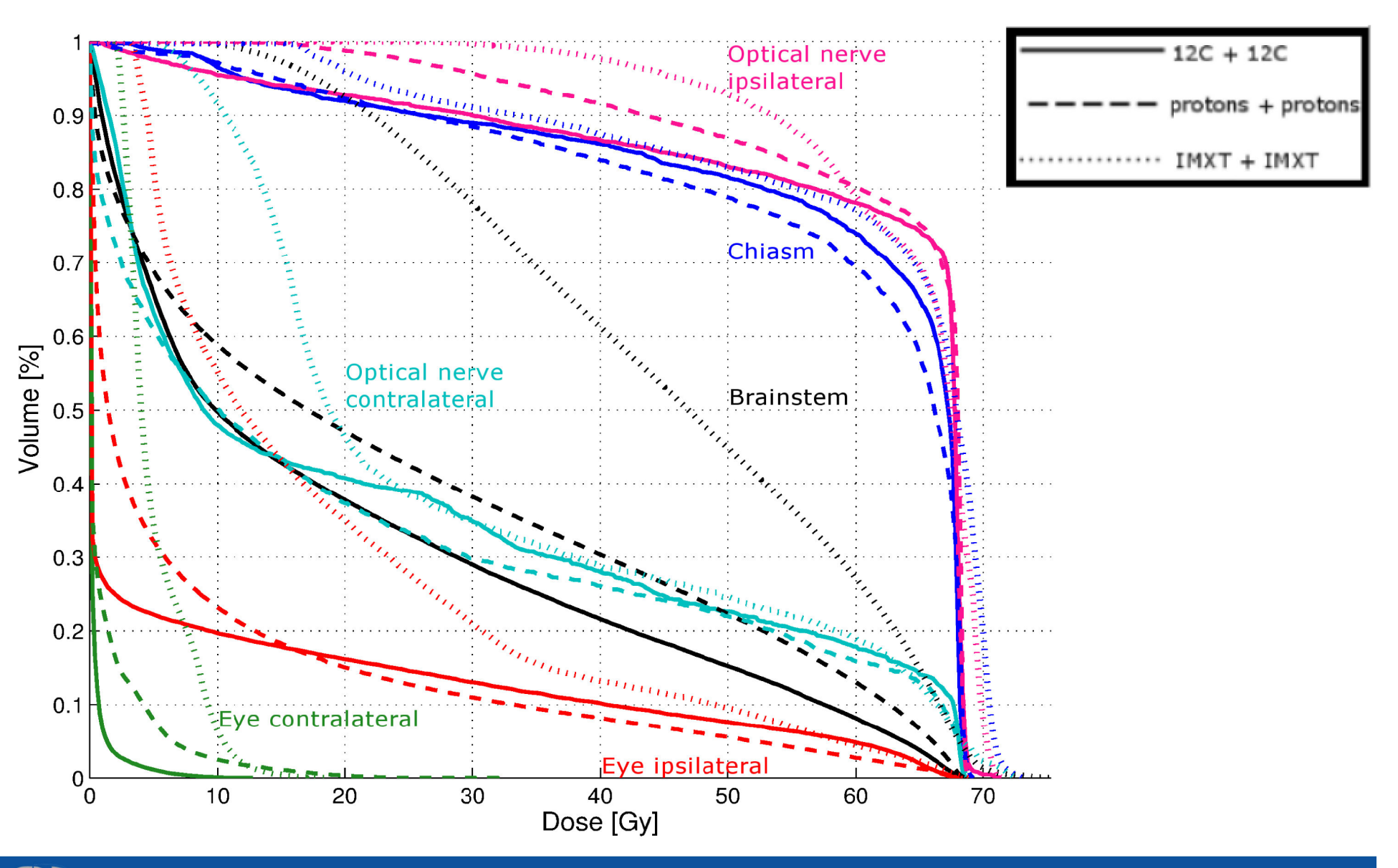


## 3. Vergleichsstudie – Ergebnisse - Risikoorgane





## 3. Vergleichsstudie – Ergebnisse - Risikoorgane





## 3. Vergleichsstudie – Ergebnisse - Risikoorgane

Dmean [Gy(IsoE)]	IMXT + IMXT	IMXT + protons	protons + protons
Eye ip	18.9 ± 16.0	15.9 ± 16.8	8.9 ± 12.3*
Eye co	5.0 ± 2.4	3.3 ± 1.2*	1.2 ± 2.4*
Hippocampus ip	58.8 ± 9.2	58.5 ± 9.1	54.2 ± 15.7
Hippocampus co	19.4 ± 8.0	14.8 ± 7.3*	4.5 ± 6.7*
Cochlea ip	56.5 ± 24.9	55.4 ± 24.9	55.6 ± 24.9
Cochlea co	23.8 ± 5.6	17.5 ± 4.0	0.8 ± 1.3*
Lense ip	10.6 ± 10.0	8.4 ± 9.7*	0.6 ± 1.4*
Lense co	3.8 ± 2.1	2.6 ± 1.2*	0.4 ± 0.8*

<sup>\*</sup>significantly different compared to IMXT + IMXT

#### **Konklusion**

#### • Leichtionetherapien vs. Photonentherapie

- höhere Dosisabdeckung des Zielvolumens
- höhere Konformität und Homogenität der Dosisverteilung
- reduzierte totale integrale Dosis
- Schonung von Risikoorganen um Zielvolumen



